



# БИООРГАНИЧЕСКАЯ ХИМИЯ

том 10 \* № 1 \* 1984

УДК 577.112.853 : 54.057

## N-(ГЛИКОЗИЛТИОКАРБАМОИЛ)ПЕПТИДЫ — АНАЛОГИ N-АЦЕТИЛ-МУРАМОИЛ-L-АЛАНИЛ-D-ИЗОГЛУТАМИНА (МДП), ОТЛИЧАЮЩИЕСЯ СПОСОБОМ ПРИСОЕДИНЕНИЯ САХАРА К ПЕПТИДУ

Абашев Ю. Н.\*, Андронова Т. М., Зурабян С. Э.\*\*,  
Малькова В. И., Сорокина И. Б., Хорлин А. Я.

Институт биоорганической химии им. М. М. Шемякина Академии наук СССР, Москва

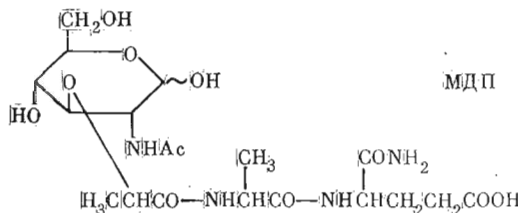
\* Научно-исследовательский институт иммунологии

Министерства здравоохранения СССР, Москва

\*\* Первый московский медицинский институт им. И. М. Сеченова

Осуществлен синтез N-(гликозилтиокарбамоил)пептидов общей формулы  $\text{G}-\text{HNC}(=\text{S})-\text{P} (\text{P}=\text{L-Ala}, \text{L-Ala-D-Glu}, \text{L-Ala-D-iGln}, \text{D-Ala-L-Ala-D-iGln}; \text{G}=\text{D-GlcNAcp}\beta 1-(4-\text{D-GlcNAcp}\beta 1)_{x=0, 1, 2}, \text{L-Rhap}\alpha 1)$  действием ацетилированных гликозилизоцианатов на аланин или незащищенные пептиды и последующим дезацетилированием аддуктов. В тесте Йерне все гликозилтиокарбамоилаланины и рамногликозилтиокарбамоилпептиды оказались неактивными. Глюкозаминсодержащие гликозилтиокарбамоилпептиды влияли на индекс антителообразующих клеток, увеличивая или уменьшая его в зависимости от дозы, некоторые из них по иммунодомinantной активности были сопоставимы с МДП.

Ввиду практической значимости иммунорегуляторы-гликопептиды, моделирующие или повторяющие строение фрагментов клеточных стенок бактерий, являются объектом многочисленных исследований (см. обзоры [1—4]). Простейшим биологически активным представителем этого ряда гликопептидов является N-ацетилмурамоил-L-аланил-D-изоглутамин (МДП).



С целью изучения взаимосвязи между строением и иммуномодулирующим действием, а также с целью поиска новых иммunoактивных гликопептидов осуществлен синтез большого числа аналогов МДП [1]. Многочисленные модификации структуры МДП в синтезах его аналогов могут быть подразделены на следующие основные типы: 1) модификации пептидной части; 2) модификации углеводной части; 3) изменение положения лактил-дипептидного фрагмента в остатке глюкозамина [4—6]; 4) создание олигомерных и полимерных структур, несущих МДП или его аналоги. Во всех перечисленных модификациях характер связи углевод — пептид не менялся: углеводная часть всегда присоединялась только через остатки  $\alpha$ -оксикислот, чаще всего через остаток молочной кислоты.

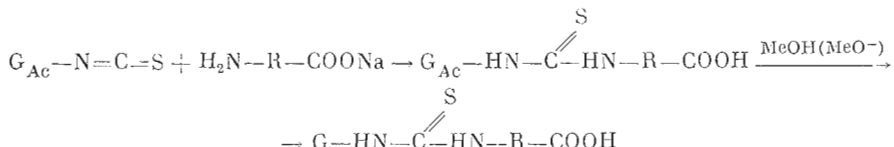
Данная работа посвящена изучению влияния характера связи углевод — пептид на биологическую активность аналогов МДП. С этой целью синтезирован ряд гликозилтиокарбамоилпептидов — аналогов МДП, в которых связь между углеводной и пептидной частями молекул осуществляется за счет тиокарбамоильной группировки, находящейся при аномерном центре сахара. В синтезированных аналогах варьировалось также строение углеводной и пептидной частей молекулы.

Таблица I

## Ацетилгликопиранозилизоцианаты

№	Соединение	Исходная ацилгалогеноза	Выход, %	Т. пл., °C	$[\alpha]_D^{25}$ , град (с 1:1; хлороформ)
(I)	<i>L</i> -Rhapαl-NCS	2,3,4-Три-О-ацетил- <i>L</i> -рамнозилбромид	71	106,7–107,3 (эфир – гексан)	–185
(II)	<i>D</i> -GlcNAcpβl-NCS	3,4,6-Три-О-ацетил-2-ацетамидо-2-дезокси- <i>D</i> -глюкопиранозилхлорид	63	157–160 (хлороформ – эфир)	+9
(III)	<i>D</i> -GlcNAcpβ1-4- <i>D</i> -GlcNAcpβ1-NCS	3,6,3',4',6'-Пепта-О-ацетилди-N, N'-ацетил-хитобиозилхлорид	59	196–197 (ацетон – эфир)	–27
(IV)	<i>D</i> -GlcNAcpβ1-(4- <i>D</i> -GlcNAcpβ1) <sub>2</sub> -NCS	3,6,3',6',3'',4'',6''-Гепта-О-ацетил-три-N,N',N''-ацетилхитотриозилхлорид	80	Аморфн.	–16,5

Гликозилтиокарбамоилпептиды были получены путем присоединения гликозилизоцианатов [7] (соед. (I)–(IV) табл. 1) к аминогруппе аланина или незащищенных пептидов [8]. В реакции вводили натриевые соли аланина или пептидов; при этом гликозилизоцианаты в мягких условиях взаимодействовали исключительно с аминогруппой аланина или N-концевой аминокислоты пептида [9]. Взаимодействия с карбоксильной группой данных соединений в условиях реакции не наблюдалось. Полученные в результате О-ацетилированные гликозилтиокарбамоилпептиды (соед. (V)–(XV) табл. 2) подвергались дезацетилированию метилатом натрия в метаноле, которое приводило к целевым гликозилтиокарбамоилпептидам (XVI)–(XXVI) (табл. 3).



В всех случаях реакции протекали гладко, в мягких условиях и с хорошими выходами (см. «Экспериментальную часть»). Строение синтезированных соединений прямо вытекало из способа их синтеза, чистота их подтверждалась данными элементного анализа на углерод, водород, азот и серу, а также с помощью ТСХ. Синтез трипептида *D*-аланил-*L*-аланил-*D*-изоглутамина осуществлен конденсацией *n*-нитрофенилового эфира *трет*-бутилоксикарбонил-*D*-аланина с трифторацетатом γ-бензилового эфира *L*-аланил-*D*-изоглутамина [8] методом активированных эфиров с последующим деблокированием бензильной защиты гидрогенолизом и *трет*-бутилоксикарбонильной защиты обработкой трифторуксусной кислотой.

Об адъювантной активности синтезированных гликопептидов судили по изменению количества антителообразующих клеток в селезенке мышей.

*N*-(Гликозилтиокарбамоил)аминокислоты (XVI)–(XVIII) и рамнозильные производные (XIX) и (XX) оказались полностью неактивными. Соединения (XXI) и (XXIII) показали умеренную иммуноадъювантную активность. Замена дипептида на трипептид *D*-аланил-*L*-аланил-*D*-изоглутамин дала соединения (XXIV)–(XXVI) с иммуносупрессорной активностью (см. табл. 4).

Полученные данные показали, что для иммуноадъювантной активности важно наличие дипептида (*L*-аланил-*D*-изоглутамина или *L*-аланил-*D*-глу-

## Таблица 2

Ацетаты N-(гликопиранозиликарбамонд)пептидов

№	Соединения (ацетата)	Выход, %	Т. пл., °С	ТСХ		Система	$[\alpha]_D^{22}$ , град (с 1,1)
				$R_f$	$R_X$		
(V)	<i>L</i> -Rhap $\alpha$ 1-NHC(=S)- <i>L</i> -Ala	90	173,5-175,5 (акетон - гексан)	0,30	0,50 *	Г	-80 (хлоро-форм)
(VI)	<i>D</i> -GlcNAcp $\beta$ 1- <i>N</i> HG(=S)- <i>L</i> -Ala	60	185-186,5 (вода)	0,94	3,37 2*	3	+4,3 (хлоро-форм)
(VII)	<i>D</i> -GlcNAcp $\beta$ 1- <i>A</i> - <i>D</i> -GlcNAcp $\beta$ 1- <i>N</i> HС(=S)- <i>L</i> -Ala	74	213-213,5 (этанол - эфир)	0,81	2,90 2*	3	-23 (хлоро-форм)
(VIII)	<i>L</i> -Rhap $\alpha$ 1-NHC(=S)- <i>L</i> -Ala- <i>D</i> - <i>i</i> Gln	92	Аморфн.	0,50	0,69 3*	A	-
(IX)	<i>L</i> -Rhap $\alpha$ 1-NHC(=S)- <i>L</i> -Ala- <i>D</i> -Glu	76	»	0,40	0,65 3*	II	-
(X)	<i>D</i> -GlcNAcp $\beta$ 1- <i>N</i> HС(=S)- <i>L</i> -Ala- <i>D</i> - <i>i</i> Gln	71	176-177,5 (метанол - эфир)	0,29	0,43 3*	A	-6 (вода)
(XI)	<i>D</i> -GlcNAcp $\beta$ 1- <i>N</i> HС(=S)- <i>L</i> -Ala- <i>D</i> -Glu	91	214-217 (метанол - эфир)	0,21	0,39 4*	II	+7 (метанол)
(XII)	<i>D</i> -GlcNAcp $\beta$ 1- <i>A</i> - <i>D</i> -GlcNAcp $\beta$ 1- <i>N</i> HС(=S)- <i>L</i> -Ala- <i>D</i> - <i>i</i> Gln	70	Аморфн.	0,47	0,62 5*	B	-
(XIII)	<i>D</i> -GlcNAcp $\beta$ 1- <i>N</i> HС(=S)- <i>D</i> -Ala- <i>L</i> -Ala- <i>D</i> - <i>i</i> Gln	62	»	0,22	0,32 *	B	-
(XIV)	<i>D</i> -GlcNAcp $\beta$ 1- <i>A</i> - <i>D</i> -GlcNAcp $\beta$ 1- <i>N</i> HС(=S)- <i>D</i> -Ala- <i>L</i> -Ala- <i>D</i> - <i>i</i> Gln	99	»	0,84	3,00 2*	3	-
(XV)	<i>D</i> -GlcNAcp $\beta$ 1- <i>(A</i> - <i>D</i> -GlcNAcp $\beta$ 1)- <i>S</i> -NHC(=S)- <i>D</i> -Ala- <i>L</i> -Ala- <i>D</i> - <i>i</i> Gln	80	»	0,76	2,71 2*	3	-

Примечание.  $R_X$  — хроматографическая подвижность относительно: \* изотиопианата глюкозамина (II), \*\* изотиопианата ацетата  $\alpha$ -L-рамнозы, \*\*\* полного ацетата N-ацетил- $\beta$ -D-глюкозамина, \*\*\*\* изотиопианата глюкозамина (III).

## Нагриевые соли N-(гликониацилтиокарбамоил)пептидов

№	Соединение	$R_f$	$\eta_{DMSO}$ % [η]	Систе- ма вода)	Формула	Элементный анализ ***			
						C	H	N	S
(XVI)	<i>L</i> -Rhap $\alpha$ 1-NHC (= S)- <i>L</i> -Ala	92	0,67	1,64 *	$\text{C}_{10}\text{H}_{18}\text{N}_2\text{O}_6\text{S}\cdot 3\text{H}_2\text{O}$	34,48 34,46	6,94 6,95	8,04 8,00	9,20 9,16
(XVII)	<i>D</i> -GlcNAcp $\beta$ 1-NHC (= S)- <i>L</i> -Ala	87	0,36	2,00	$\text{C}_{12}\text{H}_{21}\text{N}_3\text{O}_5\text{S}$	41,04 40,84	6,03 6,42	11,96 12,01	9,11 8,98
(XVIII)	<i>D</i> -GlcNAcp $\beta$ 1-4- <i>D</i> -GlcNAcp $\beta$ 1-NHC (= S)- <i>L</i> -Ala	90	0,30	1,07	$\text{C}_{20}\text{H}_{35}\text{N}_4\text{O}_{12}\text{S}\cdot \text{H}_2\text{O}$	41,96 41,94	6,34 6,35	9,79 9,71	5,60 5,53
(XIX)	<i>L</i> -Rhap $\alpha$ 1-NHC (= S)- <i>L</i> -Ala- <i>D</i> -iGln	97	0,50	1,00 *	$\text{C}_{15}\text{H}_{25}\text{N}_4\text{O}_8\text{SNa}$	40,54 40,48	5,67 5,69	12,61 12,53	7,21 6,99
(XX)	<i>L</i> -Rhap $\alpha$ 1-NHC (= S)- <i>L</i> -Ala- <i>D</i> -Glu	93	0,62	1,25 *	$\text{C}_{15}\text{H}_{23}\text{N}_3\text{O}_9\text{SNa}_2$	38,55 38,53	4,96 5,03	8,99 8,87	6,86 6,77
(XXI)	<i>D</i> -GlcNAcp $\beta$ 1-NHC (= S)- <i>L</i> -Ala- <i>D</i> -iGln	99	0,37	1,17	$\text{C}_{17}\text{H}_{30}\text{N}_5\text{O}_{10}\text{SNa}\cdot \text{H}_2\text{O}$	39,30 38,28	5,82 5,84	13,48 13,46	6,47 6,18
(XXII)	<i>D</i> -GlcNAcp $\beta$ 1-NHC (= S)- <i>L</i> -Ala- <i>D</i> -Glu	99	0,48	1,54	$\text{C}_{17}\text{H}_{28}\text{N}_5\text{O}_{10}\text{SNa}_2$	38,78 38,70	5,36 5,28	10,69 10,61	6,09 6,02
(XXIII)	<i>D</i> -GlcNAcp $\beta$ 1-4- <i>D</i> -GlcNAcp $\beta$ 1-NHC (= S)- <i>L</i> -Ala- <i>D</i> -iGln	96	0,25	0,71	$\text{C}_{23}\text{H}_{41}\text{N}_6\text{O}_{14}\text{SNa}$	42,61 42,58	5,86 5,93	14,93 14,86	4,55 4,42
(XXIV)	<i>D</i> -GlcNAcp $\beta$ 1-NHC (= S)- <i>D</i> -Ala- <i>L</i> -Ala- <i>D</i> -iGln	99	0,48	0,64	$\text{C}_{20}\text{H}_{33}\text{N}_6\text{O}_{10}\text{SNa}$	41,96 41,89	5,81 6,01	14,68 14,57	5,60 5,49
(XXV)	<i>D</i> -GlcNAcp $\beta$ 1-4- <i>D</i> -GlcNAcp $\beta$ 1-NHC (= S)- <i>D</i> -Ala- <i>L</i> -Ala- <i>D</i> -iGln	98	0,34	1,21	$\text{C}_{28}\text{H}_{46}\text{N}_7\text{O}_{15}\text{SNa}$	43,35 43,12	5,98 5,63	12,67 12,30	4,43 3,97
(XXVI)	<i>D</i> -GlcNAcp $\beta$ 1-(4- <i>D</i> -GlcNAcp $\beta$ 1) <sub>2</sub> -NHC (= S)- <i>D</i> -Ala- <i>L</i> -Ala- <i>D</i> -iGln	97	0,24	0,75	$\text{C}_{36}\text{H}_{59}\text{N}_8\text{O}_{20}\text{SNa}$	44,17 44,30	6,07 5,98	11,48 11,32	3,29 3,09

\* Хроматографическая подвижность относительно *L*-рамнозы.

\*\* с 0,9. металол.

\*\*\* Верхнее число — вычисленное значение, нижнее — найденное.

Таблица 4

## Биологическая активность N-(гликозилтиокарбамоил)пептидов

Соединение	Адъювантная активность		Противоопухолевая активность	
	Доза, мкг/мышь	Индекс АОК *	Доза, мг/кг	% торможения роста опухоли
(XXI)	1 1000	4,4 2,2	50	20
			100	22
			200	56
(XXII)	—	—	50	0
			100	10
			200	38
(XXIII)	10 100 1000	0,6–1,5 1,0 1,3–2,4	50	0
			100	0
XXIV	1 100 1000	0,6 0,66 0,69	50	0
			100	0
(XXV)	1 100 1000	4,2 0,54 1,53	50	0
			100	0
(XXVI)	1 100	0,41 0,88	50	20
			100	22
МДП	1000	0,48		
	1	1,26	50	16
	10	1,54	100	0
	100	1,56		
	1000	0,61		

\* количество АОК на  $10^6$  клеток селезенки в опыте  
количество АОК на  $10^6$  клеток селезенки в контроле

таминовой кислоты) и углевода. Структура углевода сильно влияет на активность: замена N-ацетил-D-глюкозамина на L-рамнозу приводит к потере адъювантной активности.

Приведенные в табл. 4 данные позволяют считать, что остаток молочной кислоты может быть заменен на тиокарбамоильную группу с сохранением адъювантной активности. Активность некоторых соединений, (XXI) и (XXIII), сопоставима с адъювантной активностью МДП.

Трипептидные аналоги (XXIV)–(XXVI), обладающие большим структурным подобием лактилдипептидной части мурамоилдипептида, показали иммуносупрессорную активность, что находится в соответствии с тем, что лактилдинепептидный фрагмент МДП обладает антиадъювантной активностью [10].

Противоопухолевая активность изучалась на белых беспородных мышах с перевиваемой солидной саркомой-180, чувствительной к природным гликопептидам [11]. Вещество вводилось на 7-е сут после подкожной перевивки опухоли. Оценка противоопухолевого действия (табл. 4) проводилась по торможению роста опухоли на 7–14-е сут после однократного внутривенного введения гликопептида. Потенциально активными оказались только тиокарбамоильгликонепептиды (XXI), (XXII) и (XXVI), которые заслуживают дальнейшего исследования.

## Экспериментальная часть

Температуры плавления определяли на приборе Boetius (ГДР). Оптическое вращение измеряли на поляриметре Perkin — Elmer 141 (США). ТСХ проводили на пластинках Silufol UV-254 (Kavalier, ЧССР) в системах:

хлороформ — метанол, 6 : 1 (А) и 4 : 1 (Б), хлороформ — этанол, 5 : 1 (В), хлороформ — ацетон — уксусная кислота, 25 : 25 : 1 (Г), *n*-бутанол — вода — уксусная кислота, 3 : 1 : 1 (Д), *n*-бутанол — вода — уксусная кислота, 5 : 2 : 2 (Е), хлороформ — этанол — вода — уксусная кислота, 6 : 5 : 1 : 1 (Ж), этилацетат — вода — уксусная кислота, 3 : 1 : 1 (З), хлороформ — метанол — уксусная кислота, 80 : 10 : 1 (И). Локализацию веществ обнаруживали нагреванием пластилок при 200—250° С. Колоночную хроматографию проводили на силикагеле L 40—100 мкм (Chemapol, ЧССР). Растворители упаривали в вакууме при 30—40° С. Аминокислотный анализ пептидов проводили в стандартных условиях на аминокислотном анализаторе Liquimat (Labotron).

**Бензиловый эфир трет-бутилоксикарбонил-*D*-аланил-*L*-аланил-*D*-изоглутамина.** К раствору 1,3 г (3,1 ммоль) трифторацетата  $\gamma$ -бензилового эфира *L*-аланил-*D*-изоглутамина [11] и 0,34 мг (3,1 ммоль) N-метилморфолина в 2 мл ДМФА добавляли 1,1 г (3,5 ммоль) *n*-нитрофенилового эфира трет-бутилоксикарбонил-*D*-аланина и выдерживали 24 ч при 40° С. Выпавший осадок промывали смесью метанол — эфир, 1 : 1, и эфиром. После перекристаллизации из смеси метанол — ДМФА (1 : 0,5) получали 1,2 г (80 %) соответствующего защищенного трипептида. Т. пл. 213—214° С,  $[\alpha]_D^{20} -9^\circ$  (с 0,1; трифторэтанол),  $R_f$  0,77 (З), 0,86 (В). Аминокислотный анализ: Ala 2,03, Glu 1,00.

**трет-Бутилоксикарбонил-*D*-аланил-*L*-аланил-*D*-изоглутамин.** 1,2 г бензилового эфира трет-бутилоксикарбонил-*D*-аланил-*L*-аланил-*D*-изоглутамина суспендировали в 10 мл метанола и гидрировали над палладиевой чернью в течение 3 ч при 20° С. Растворитель упаривали, остаток переосаждали из метанола эфиром. Выход 0,9 г (92 %). Т. пл. 105—107° С  $[\alpha]_D^{20} -4^\circ$  (с 0,1; метанол),  $R_f$  0,73 (З), 0,42 (Б).

**Трифторацетат *D*-аланил-*L*-аланил-*D*-изоглутамина.** 0,9 г трет-бутилоксикарбонил-*D*-аланил-*L*-аланил-*D*-изоглутамина растворяли в 10 мл трифторуксусной кислоты и выдерживали 0,5 ч. Продукт реакции высаживали абсолютным эфиром. Выход 0,8 г (80 %). Т. пл. 102—103° С,  $[\alpha]_D^{20} -21^\circ$  (с 0,1; метанол),  $R_f$  0,3 (З). Аминокислотный анализ: Ala 2,01, Glu 1,00.

**Ацетилгликозилизотиоцианаты (соед. (I) — (IV) (табл. 1)).** Раствор 10 ммоль ацетилированного гликозилгалогенида и 30 ммоль роданида аммония в 15 мл сухого ацетонитрила перемешивали 1,5 ч при 40—45° С. Растворитель упаривали в вакууме, остаток растворяли в 15 мл хлороформа, промывали водой (3×10 мл) и сушили  $\text{CaCl}_2$ . После отгонки растворителя остаток кристаллизовали из смеси хлороформ — эфир или ацетон — эфир. Маточный раствор упаривали, остаток хроматографировали на колонке в системе хлороформ — ацетон или эфир — ацетон (концентрация ацетона возрастила от 20 до 50 %). Контроль за ходом разделения производили с помощью ТСХ (системы А и В).

**N-Ацетилгликопиранозилтиокарбамоилпептиды (V) — (XV) (табл. 2).** К раствору 1 ммоль аланина или пептида в 5 мл насыщенного водного раствора  $\text{NaHCO}_3$  добавляли по каплям раствор 1,1 ммоль ацетилгликозилизотиоцианата в 5 мл ацетона или пиридина. Гомогенную реакционную массу выдерживали 1—4 ч при 20° С. За ходом реакции следили с помощью хроматографии. Органический растворитель отгоняли, остаток разбавляли 10—15 мл воды и промывали хлороформом (3×10 мл) для удаления избытка изотиоцианата. Водную фазу подкисляли концентрированной  $\text{HCl}$  до pH 2 и продукт экстрагировали хлороформом или смесью хлороформ — метанол, 4 : 1 (4×10 мл). Хлороформный раствор упаривали, остаток кристаллизовали или переосаждали из хлороформа эфиром или ацетоном до хроматографически чистого состояния.

**N-Гликопиранозилтиокарбамоилпептиды (XVI) — (XXVI) (табл. 3).** К раствору 1 ммоль соединения (V) — (XV) (табл. 2) в 10 мл абс. метанола добавляли 1,1 мл 1 М раствора метилата натрия в абс. метаноле и выдерживали 15—20 мин при 20° С. Натриевую соль продукта осаждали 30 мл сухого эфира и очищали переосаждением из метанола эфиром до хроматографически чистого состояния. В случае N-(гликозилтиокарбамоил)-*L*-ала-

нина продукт обрабатывали смолой КУ-2 ( $\text{H}^+$ -форма) в метаноле, смолу отфильтровывали, а продукт осаждали эфиром.

Адьювантную активность соединений (XVI) — (XXVI) (табл. 4) определяли по увеличению продукции антителообразующих клеток в селезенке мышей гибридов  $F_1$  (СВАХ×57 Bl/6) по методу Йерне в модификации Каннагейма [12] на 5-е сут после одновременного внутрибрюшинного введения эритроцитов барана и гликопептида.

## ЛИТЕРАТУРА

1. Lefrancier P., Lederer E. Prog. Chem. Org. Natur. Products, 1981, v. 40, p. 1—47.
2. Stewart-Tull D. E. S. Ann. Rev. Microbiol., 1980, v. 34, p. 311—340.
3. Parant M. Springer semin. immunopathol., 1979, v. 2, p. 101—118.
4. Hasegawa A., Kaneda Y., Goh Y., Nishibori K., Kiso M., Azuma I. Carbohydr. Res., 1981, v. 94, p. 143—163.
5. Абашев Ю. П., Андронова Т. М., Зурабян С. Э., Хорлин А. Я. Биоорганическая химия, 1981, т. 7, № 7, с. 980—987.
6. Kiso M., Kaneda Y., Gon Y., Hasegawa A., Azuma I. Agric. Biol. Chem., 1980, v. 44, № 8, p. 1971—1973.
7. А. с. 666182 (СССР). Способ получения ацетилированных гликозилизоцианатов / Кульшин В. А., Мачарадзе Р. Г., Зурабян С. Э., Хорлин А. Я. Заявл. № 2557934/23-04.—Опубл. в Б. И., 1979, № 21.
8. Андронова Т. М., Ростовцева Л. И., Добрушкина Е. П., Гаврилов Ю. Д., Дешико Т. Н., Иванов В. Т. Биоорганическая химия, 1980, т. 6, № 12, с. 1830—1841.
9. А. с. 833981 (СССР). Способ получения N-(гликозилтиокарбамоил)-аминокислот и пентидов / Зурабян С. Э., Кульшин В. А., Хорлин А. Я., Шульман М. Л. Заявл. № 11.10.79, № 2829114/23-04.—Опубл. в Б. И., 1981, № 20.
10. Adam A., Devys M., Souvannavong V., Lefrancier P., Lederer E. Biochem. and Biophys. Res. Commun., 1976, v. 72, № 1, p. 339—346.
11. Ростовцева Л. И., Андронова Т. М., Малькова В. П., Сорокина И. Е., Иванов В. Т. Биоорганическая химия, 1981, т. 7, № 12, с. 1843—1858.
12. Лейковитс И., Козенца У. В кн.: Методы исследований в иммунологии. М.: Мир, 1981, с. 288—295.

Поступила в редакцию  
15.VI.1983

## N-GLYCOSYLTHIOCARBAMOYL PEPTIDES — N-ACETYLMURAMOYL-L-ALANYL-D-ISOGlutAMINE (MDP) ANALOGUES DIFFERING IN THE MANNER OF SUGAR LINKING TO PEPTIDE

ABASHEV Yu. P.,\* ANDRONOVA T. M., ZURABYAN S. E.,\*\*  
MAL'KOVA V. P., SOROKINA I. B., KHORLIN A. Ya.

M. M. Shemyakin Institute of Bioorganic Chemistry, Academy of Sciences of the USSR, Moscow,\* Research Institute of Immunology, Health Ministry of the USSR, Moscow;\*\* I. M. Sechenov I Moscow Medical Institute, Moscow

N-Glycosylthiocarbamoyl peptides of the general formula  $G-\text{NC}(=\text{S})-\text{P}$  ( $\text{P}=L\text{-Ala}$ ,  $L\text{-Ala-D-Glu}$ ,  $L\text{-Ala-D-iso-Gln}$ ,  $D\text{-Ala-L-Ala-D-iso-Gln}$ , and  $\text{G=D-GlcNAcp}\beta\text{l}\rightarrow(4-D\text{-GlcNAcp}\beta\text{l})_{x=0,1,2}$ ,  $L\text{-Rhap}\alpha\text{l}-$ ) were synthesized by coupling acetylated glycosylisothiocyanates with alanine or unprotected peptides, followed by deacetylation of the formed adducts. All the glycosylthiocarbamoylalanines and rhamnopyranosylthiocarbamoyl peptides were inactive as immunoadjuvants in the Jerne test. The immunoadjuvant-active compounds comparable to MDP were found among the aminosugar-containing glycosylthiocarbamoyl peptides.